



NetWorks Sp. z o.o.
Laboratorium Badań Środowiskowych
ul. Józefa Piusa Dziekońskiego 3
00-728 Warszawa
e-mail: Laboratorium@networks.pl



AB 419

S P R A W O Z D A N I E 3337/2024/OS
Z POMIARÓW PÓL ELEKTROMAGNETYCZNYCH
WYKONANYCH DLA POTRZEB OCHRONY ŚRODOWISKA

Badany obiekt: Instalacja radiokomunikacyjna Orange Polska S.A.
Numer i nazwa: 453 (96996N!) KRYNICE (WBI_DOBRZYNIE_KRYNICE)
Adres: KRYNICE DZ.30/2, Powiat białostocki, WOJ. PODLASKIE

Data wykonania pomiarów: 2024-08-05

Sprawozdanie z badań bez pisemnej zgody laboratorium nie może być powielane inaczej niż w całości.
Wynik przedstawione w niniejszym sprawozdaniu odnoszą się wyłącznie do badanego obiektu i do warunków i konfiguracji urządzeń w dniu wykonywania pomiarów.

1. Właściciel badanego obiektu:

Orange Polska S.A., Al. Jerozolimskie 160, 02-326 Warszawa

2. Zleceniodawca:

Orange Polska S.A., Al. Jerozolimskie 160, 02-326 Warszawa

3. Przedstawiciel zleceniodawcy:

NetWorks Sp. z o.o.

4. Zakres zlecenia:

Wykonanie badania i opracowanie sprawozdania z pomiarów natężenia pola elektrycznego i pola magnetycznego dla instalacji radiokomunikacyjnej Orange Polska S.A. zlokalizowanej w miejscowości KRYNICE DZ.30/2.

5. Cel zlecenia:

Wykonanie pomiarów pól elektromagnetycznych w otoczeniu instalacji radiokomunikacyjnej 453 (96996N!) KRYNICE (WBI_DOBRZYNIIE_KRYNICE) w odniesieniu do wymagań określonych w *Rozporządzeniu Ministra Klimatu z dnia 17 lutego 2020 r. w sprawie sposobów sprawdzania dotrzymania dopuszczalnych poziomów pól elektromagnetycznych w środowisku (Dz.U. 2022 poz. 2630)*.

6. Pomiary zostały wykonane przez:

Smoliński Mateusz
Dudziński Adam

7. Informacje o źródłach pól elektromagnetycznych

7.1. Sposób identyfikacji badanych źródeł pól elektromagnetycznych

Identyfikacji źródeł i parametrów technicznych dokonano na podstawie analizy dokumentacji dotyczącej zlecenia oraz obserwacji miejsca wykonywania badań.

7.2. Opis miejsca zainstalowania anten i urządzeń technicznych. Opis obiektu badań i jego otoczenia

Instalacja radiokomunikacyjna zlokalizowana jest na terenie ogrodzonym. Anteny zawieszono na wieży kratowej. Urządzenia sterujące oraz zasilające zainstalowano w kontenerze u podstawy wieży. Wokół instalacji znajdują się tereny rolnicze.

Instalacja radiokomunikacyjna jest obiektem bezobsługowym. Okresowe stanowiska pracy związane są z prowadzonymi w zależności od potrzeb konserwacjami, przeglądami, strojeniem i naprawami.

7.3. Parametry techniczne źródła pola elektromagnetycznego

Dane przedstawiające maksymalne parametry pracy instalacji przekazane przez zleceniodawcę:

Parametry systemu nadawczo-odbiorczego:

Charakterystyka promieniowania		kierunkowa					
Rzeczywisty czas pracy [h/dobę]		24					
Warunki pracy		znamionowe					
Rodzaj wytwarzanego pola		stacjonarne					
Lp.	Częstotliwość lub zakresy częstotliwości pracy [MHz]	Typ/producent anteny	liczba anten	Azymut [°]	kąt pochylecia [°]	Wysokość środka elektrycznego anteny [m n.p.t]	Równoważna moc promieniowana izotropowo (EIRP) [W]
1	2600	ADU4518R6v06 Huawei	1	40	1.5*	43	9184
2	3600	AQQQ NSN	1	40	4*	43	47427
3	800/900/1800/2100	800372965 Ericsson	1	40	2*/2*/2*/2*	75	21206
4	800/900/1800/2100/2600	800482002 Ericsson	1	190	2*/2*/2*/2*/2*	43	29267
5	3600	AQQQ NSN	1	190	4*	43	47427
6	2600	ADU4518R6v06 Huawei	1	310	1.5*	43	9184
7	3600	AQQQ NSN	1	310	4*	43	47427
8	800/900/1800/2100	KRE1012483/1 Ericsson	1	310	2*/2*/2*/2*	75	21196

* wskazane wartości kąta pochylecia anten, zgodnie z informacją uzyskaną od zleceniodawcy, są wartościami stałymi

Parametry radiolinii:

Charakterystyka promieniowania		kierunkowa					
Rzeczywisty czas pracy [h/dobę]		24					
Warunki pracy		znamionowe					
Rodzaj wytwarzanego pola		stacjonarne					
Lp.	Linia radiowa			Antena			
	Typ/ Producent	Częstotliwość pracy [GHz]	Równoważna moc promieniowana izotropowo (EIRP) [W]	Typ/ producent	Średnica anteny [m]	Azymut [°]	Wysokość zainstalowania n.p.t [m]
1.	RTN 380AX 70/80GHz 250MHz Huawei	80	7080	VHLP2-80 Andrew	0.6	97	77
2.	RTN XMC-3 15G 28MHz Huawei	15	1585	VHLP2-15-HW1A Andrew	0.6	97	90.1
3.	RTN XMC-2 15G/2+0/56MHz Huawei	15	3170	VHLPX2-15 Andrew	0.6	330	28

7.4 Inne źródła pól elektromagnetycznych

Na podstawie informacji otrzymanych od użytkownika oraz obserwacji otoczenia miejsca wykonywania pomiarów stwierdzono występowanie innych źródeł pola-EM, pracujących w systemie: telefonii komórkowej (800MHz-2600MHz), linii radiowych (5GHz – 90GHz), które istotnie wpływają na wyniki pomiarów.

Sprawozdanie z badań bez pisemnej zgody laboratorium nie może być powielane inaczej niż w całości.
 Wynik przedstawione w niniejszym sprawozdaniu odnoszą się wyłącznie do badanego obiektu i do warunków i konfiguracji urządzeń w dniu wykonywania pomiarów.

8. Opis pomiarów

8.1. Metoda badań

Zgodna z rozporządzeniem Ministra Klimatu z dnia 17 lutego 2020 r. w sprawie sposobów sprawdzania dotrzymania dopuszczalnych poziomów pól elektromagnetycznych w środowisku (Dz.U. 2022 poz. 2630), określona w pkt 25 ppkt 1 załącznika do niniejszego rozporządzenia.

8.2. Termin pomiarów i warunki środowiskowe

Podczas wykonywania pomiarów pól elektromagnetycznych nie występowały opady atmosferyczne. Wyniki pomiaru parametrów pogodowych przedstawia poniższa tabela:

Data [rrrr-mm-dd]	Godzina [hh:mm-hh:mm]	Warunki środowiskowe			
		Temperatura [°C]		Wilgotność względna [%]	
2024-08-05	15:35-16:55	Przed pomiarem	Po pomiarach	Przed pomiarem	Po pomiarach
		21.4	21.3	66.4	65.9

Przedstawione wyżej warunki środowiskowe, występujące podczas wykonywania pomiarów pól elektromagnetycznych, są zgodne ze specyfikacją techniczną użytego zestawu pomiarowego.

8.3. Warunki pracy urządzeń nadawczych

Podczas pomiarów w przypadku uzyskania wyniku pomiaru szerokopasmowego wykonanego zastosowaną metodą, dla zakresów częstotliwości od 10 MHz do 300 GHz, powiększonego o rozszerzoną niepewność pomiaru U dla współczynnika rozszerzenia $k = 2$ przekraczającego 70% najniższej dopuszczalnej wartości składowej elektrycznej lub magnetycznej pola dla objętych pomiarami zakresów częstotliwości, uwzględnia się poprawki pomiarowe przekazane przez zleceniodawcę, umożliwiające uwzględnienie maksymalnych parametrów pracy instalacji zgodnie z pkt 7 załącznika do Rozporządzeniem Ministra Klimatu z dnia 17 lutego 2020 r. w sprawie sposobów sprawdzania dotrzymania dopuszczalnych poziomów pól elektromagnetycznych w środowisku (Dz. U. 2022, poz. 2630) zaznaczając, że wymagane jest wykonanie pomiaru z wykorzystaniem miernika selektywnego. W przypadku uzyskania wyniku pomiaru szerokopasmowego wykonanego zastosowaną metodą, dla zakresów częstotliwości od 10 MHz do 300 GHz, powiększonego o rozszerzoną niepewność pomiaru U dla współczynnika rozszerzenia $k = 2$ nieprzekraczającego 70% najniższej dopuszczalnej wartości składowej elektrycznej lub magnetycznej pola dla objętych pomiarami zakresów częstotliwości, nie uwzględnia się poprawek pomiarowych.

8.4. Wyposażenie pomiarowe

Zestaw pomiarowy służący do pomiaru natężenia składowej elektrycznej pola elektromagnetycznego złożony z szerokopasmowego miernika i sondy pomiarowej:

Oznaczenie miernika	Producent	Model	Numer fabryczny	Oznaczenie sondy	Producent	Model	Numer fabryczny
M-20	Narda Safety Test Solution	Miernik pól elektromagnetycznych NBM-550	H-0347	S-21	Narda Safety Test Solution	Sonda pomiarowa Narda EF6092	C-0114

Mierniki natężenia pola elektromagnetycznego podlegają okresowemu sprawdzeniu zgodnie z procedurą wewnętrzną P-03 i PB-01. Świadcstwo wzorcowania zestawu pomiarowego z dnia 31 marca 2023 o numerze LWiMP/W/136/23 wydane przez Politechnika Wrocławską.

Data ważności świadectwa wzorcowania: 31 marca 2025 (zgodnie z procedurą wewnętrzną P-03).

Oznaczenie miernika	Producent	Model	Numer fabryczny	Oznaczenie sondy	Producent	Model	Numer fabryczny
M-20	Narda Safety Test Solution	Miernik pól elektromagnetycznych NBM-550	H-0347	S-22	Narda Safety Test Solution	Sonda EF0391	D-1516

Mierniki natężenia pola elektromagnetycznego podlegają okresowemu sprawdzeniu zgodnie z procedurą wewnętrzną P-03 i PB-01. Świadcstwo wzorcowania zestawu pomiarowego z dnia 29 lutego 2024 o numerze LWiMP/W/062/24 wydane przez Politechnika Wrocławską.

Data ważności świadectwa wzorcowania: 28 lutego 2026 (zgodnie z procedurą wewnętrzną P-03).

Termohigrometr:

Oznaczenie:	TH-19	Producent:	AZ INSTRUMENT CORP	Model:	Termohigrometr AZ8706
-------------	-------	------------	--------------------	--------	-----------------------

Data ważności świadectwa wzorcowania: 23 maja 2027 (zgodnie z procedurą wewnętrzną P-03).

Sprawozdanie z badań bez pisemnej zgody laboratorium nie może być powielane inaczej niż w całości. Wynik przedstawione w niniejszym sprawozdaniu odnoszą się wyłącznie do badanego obiektu i do warunków i konfiguracji urządzeń w dniu wykonywania pomiarów.

Dalmierz:

Oznaczenie	Producent	Typ	Numer seryjny	Nr świadectwa wzorcowania	Data świadectwa wzorcowania
D-02	Leica	Dalmierz Leica Disto X310	842350466	1146.6-M11-4180-396/15	8 kwietnia 2015

Data ważności świadectwa wzorcowania: 8 kwietnia 2025 (zgodnie z procedurą wewnętrzną P-03).

Odbiornik GNSS:

Oznaczenie	Producent	Model	Numer fabryczny
G-04	Stonex	S7-G GIS	S7G4083040010

Odbiorniki podlegają okresowemu sprawdzeniu zgodnie z procedurą wewnętrzną P-03.

9. Wyniki pomiarów

Pole elektryczne

Nr pionu	Opis umiejscowienia pionu (punktu) pomiarowego	Wysokość pomiaru [m]	Zmierzona wartość natężenia pola elektrycznego E [V/m] ^{1,5}			Wartość natężenia pola elektrycznego powiększona o niepewność pomiaru ⁴ E [V/m]	Wskaźnikowa wartość poziomu emisji pól elektromagnetycznych WME ³	Współrzędne geograficzne pionu (punktu) pomiarowego ²
			Sonda S-21	Sonda S-22	SUMA			
1	GKP w odległości 24m od anteny sektorowej az. 40°	2.0	2.3	2.3	2.3	3	0.11	53°13'51.2" 23°1'33.6"
2	GKP w odległości 79m od anteny sektorowej az. 40°	2.0	1.5	1.5	1.5	2	0.07	53°13'52.7" 23°1'35.8"
3	GKP w odległości 111m od anteny sektorowej az. 40°	2.0	1.7	1.7	1.7	2.2	0.08	53°13'53.4" 23°1'36.8"
4	PKP na az. 5° w odległości 56m od anteny sektorowej az. 40°	2.0	2.2	2.2	2.2	2.9	0.1	53°13'52.7" 23°1'33.2"
5	PKP na az. 20° w odległości 54m od anteny sektorowej az. 40°	2.0	2.3	2.3	2.3	3	0.11	53°13'52.3" 23°1'34.0"
6	PKP na az. 47° w odległości 25m od anteny sektorowej az. 40°	2.0	2.3	2.3	2.3	3	0.11	53°13'51.2" 23°1'34.0"
7	PKP na az. 60° w odległości 55m od anteny sektorowej az. 40°	2.0	2.3	2.3	2.3	3	0.11	53°13'51.6" 23°1'35.4"
8	PKP na az. 75° w odległości 56m od anteny sektorowej az. 40°	2.0	2.2	2.2	2.2	2.9	0.1	53°13'51.2" 23°1'35.8"
9	GKP w odległości 57m od anteny radioliniowej az. 97°	2.0	2.4	2.4	2.4	3.1	0.11	53°13'50.5" 23°1'35.8"
10	PKP na az. 155° w odległości 52m od anteny sektorowej az. 190°	2.0	1.8	1.8	1.8	2.3	0.08	53°13'49.1" 23°1'34.0"

Sprawozdanie z badań bez pisemnej zgody laboratorium nie może być powielane inaczej niż w całości.
 Wynik przedstawione w niniejszym sprawozdaniu odnoszą się wyłącznie do badanego obiektu i do warunków i konfiguracji urządzeń w dniu wykonywania pomiarów.

11	PKP na az. 170° w odległości 51m od anteny sektorowej az. 190°	2.0	1.8	1.8	1.8	2.3	0.08	53°13'49.1" 23°1'33.2"
12	PKP na az. 183° w odległości 50m od anteny sektorowej az. 190°	2.0	1.9	1.9	1.9	2.5	0.09	53°13'49.1" 23°1'32.5"
13	GKP w odległości 30m od anteny sektorowej az. 190°	2.0	1.8	1.8	1.8	2.3	0.08	53°13'49.8" 23°1'32.5"
14	PKP na az. 197° w odległości 49m od anteny sektorowej az. 190°	2.0	1.9	1.9	1.9	2.5	0.09	53°13'49.1" 23°1'31.8"
15	PKP na az. 210° w odległości 49m od anteny sektorowej az. 190°	2.0	1.8	1.8	1.8	2.3	0.08	53°13'49.4" 23°1'31.4"
16	PKP na az. 225° w odległości 46m od anteny sektorowej az. 190°	2.0	1.8	1.8	1.8	2.3	0.08	53°13'49.4" 23°1'30.7"
17	GKP w odległości 69m od anteny sektorowej az. 190°	2.0	1.9	1.9	1.9	2.5	0.09	53°13'48.4" 23°1'32.2"
18	GKP w odległości 104m od anteny sektorowej az. 190°	2.0	1.8	1.8	1.8	2.3	0.08	53°13'47.3" 23°1'31.4"
19	PKP na az. 275° w odległości 49m od anteny sektorowej az. 310°	2.0	2.1	2.1	2.1	2.7	0.1	53°13'50.9" 23°1'30.0"
20	PKP na az. 290° w odległości 50m od anteny sektorowej az. 310°	2.0	2.1	2.1	2.1	2.7	0.1	53°13'51.2" 23°1'30.0"
21	PKP na az. 303° w odległości 51m od anteny sektorowej az. 310°	2.0	2.2	2.2	2.2	2.9	0.1	53°13'51.6" 23°1'30.4"
22	GKP w odległości 36m od anteny sektorowej az. 310°	2.0	2.3	2.3	2.3	3	0.11	53°13'51.6" 23°1'31.1"
23	PKP na az. 317° w odległości 51m od anteny sektorowej az. 310°	2.0	2.2	2.2	2.2	2.9	0.1	53°13'52.0" 23°1'30.7"
24	PKP na az. 330° w odległości 53m od anteny sektorowej az. 310°	2.0	2.1	2.1	2.1	2.7	0.1	53°13'52.3" 23°1'31.1"
25	PKP na az. 345° w odległości 52m od anteny sektorowej az. 310°	2.0	2.1	2.1	2.1	2.7	0.1	53°13'52.3" 23°1'31.8"
26	GKP w odległości 68m od anteny radioliniowej az. 330°	2.0	2.0	2.0	2.0	2.6	0.09	53°13'52.7" 23°1'31.1"
27	GKP w odległości 77m od anteny	2.0	2.2	2.2	2.2	2.9	0.1	53°13'52.3" 23°1'29.3"

Sprawozdanie z badań bez pisemnej zgody laboratorium nie może być powielane inaczej niż w całości.
 Wynik przedstawione w niniejszym sprawozdaniu odnoszą się wyłącznie do badanego obiektu i do warunków i konfiguracji
 urządzeń w dniu wykonywania pomiarów.

	sektorowej az. 310°							
28	GKP w odległości 107m od anteny sektorowej az. 310°	2.0	2.1	2.1	2.1	2.7	0.1	53°13'53.0" 23°1'28.2"
-	GKP w odległości 283m od anteny sektorowej az. 190°	2.0	1.6	1.6	1.6	2.1	0.07	53°13'41.5" 23°1'30.0"
-	GKP w odległości 365m od anteny sektorowej az. 190°	2.0	1.8	1.8	1.8	2.3	0.08	53°13'39.0" 23°1'29.3"
-	GKP w odległości 278m od anteny sektorowej az. 310°	2.0	1.4	1.4	1.4	1.8	0.07	53°13'56.6" 23°1'21.0"
-	GKP w odległości 418m od anteny sektorowej az. 310°	2.0	1.7	1.7	1.7	2.2	0.08	53°13'59.5" 23°1'15.2"
-	GKP w odległości 618m od anteny sektorowej az. 310°	0.3-2.0	<1.0*	<1.0*	<1.0*	1.3	0.05	53°14'3.8" 23°1'7.0"
-	GKP w odległości 424m od anteny sektorowej az. 40°	0.3-2.0	<1.0*	<1.0*	<1.0*	1.3	0.05	53°14'1.3" 23°1'47.6"
-	GKP w odległości 723m od anteny sektorowej az. 40°	2.0	1.7	1.7	1.7	2.2	0.08	53°14'8.9" 23°1'58.1"

Pole magnetyczne (wyznaczone na podstawie pomiaru wartości natężenia pola elektrycznego)

Nr pionu	Opis umiejscowienia pionu (punktu pomiarowego)	Wysokość pomiaru [m]	Wartość natężenia pola magnetycznego H [A/m] ¹			Wartość natężenia pola magnetycznego powiększona o niepewność pomiaru ⁴ H [A/m]	Wskaźnikowa wartość poziomu emisji pól elektromagnetycznych WM _H ³	Współrzędne geograficzne pionu (punktu pomiarowego) ²
			Sonda S-21	Sonda S-22	SUMA			
1	GKP w odległości 24m od anteny sektorowej az. 40°	2.0	0.006	0.006	0.006	0.008	0.11	53°13'51.2" 23°1'33.6"
2	GKP w odległości 79m od anteny sektorowej az. 40°	2.0	0.004	0.004	0.004	0.005	0.07	53°13'52.7" 23°1'35.8"
3	GKP w odległości 111m od anteny sektorowej az. 40°	2.0	0.005	0.005	0.005	0.006	0.08	53°13'53.4" 23°1'36.8"
4	PKP na az. 5° w odległości 56m od anteny sektorowej az. 40°	2.0	0.006	0.006	0.006	0.008	0.1	53°13'52.7" 23°1'33.2"
5	PKP na az. 20° w odległości 54m od anteny sektorowej az. 40°	2.0	0.006	0.006	0.006	0.008	0.11	53°13'52.3" 23°1'34.0"
6	PKP na az. 47° w odległości 25m od anteny sektorowej az. 40°	2.0	0.006	0.006	0.006	0.008	0.11	53°13'51.2" 23°1'34.0"

Sprawozdanie z badań bez pisemnej zgody laboratorium nie może być powielane inaczej niż w całości.
 Wynik przedstawione w niniejszym sprawozdaniu odnoszą się wyłącznie do badanego obiektu i do warunków i konfiguracji urządzeń w dniu wykonywania pomiarów.

7	PKP na az. 60° w odległości 55m od anteny sektorowej az. 40°	2.0	0.006	0.006	0.006	0.008	0.11	53°13'51.6" 23°1'35.4"
8	PKP na az. 75° w odległości 56m od anteny sektorowej az. 40°	2.0	0.006	0.006	0.006	0.008	0.1	53°13'51.2" 23°1'35.8"
9	GKP w odległości 57m od anteny radioliniowej az. 97°	2.0	0.006	0.006	0.006	0.008	0.11	53°13'50.5" 23°1'35.8"
10	PKP na az. 155° w odległości 52m od anteny sektorowej az. 190°	2.0	0.005	0.005	0.005	0.006	0.09	53°13'49.1" 23°1'34.0"
11	PKP na az. 170° w odległości 51m od anteny sektorowej az. 190°	2.0	0.005	0.005	0.005	0.006	0.09	53°13'49.1" 23°1'33.2"
12	PKP na az. 183° w odległości 50m od anteny sektorowej az. 190°	2.0	0.005	0.005	0.005	0.007	0.09	53°13'49.1" 23°1'32.5"
13	GKP w odległości 30m od anteny sektorowej az. 190°	2.0	0.005	0.005	0.005	0.006	0.09	53°13'49.8" 23°1'32.5"
14	PKP na az. 197° w odległości 49m od anteny sektorowej az. 190°	2.0	0.005	0.005	0.005	0.007	0.09	53°13'49.1" 23°1'31.8"
15	PKP na az. 210° w odległości 49m od anteny sektorowej az. 190°	2.0	0.005	0.005	0.005	0.006	0.09	53°13'49.4" 23°1'31.4"
16	PKP na az. 225° w odległości 46m od anteny sektorowej az. 190°	2.0	0.005	0.005	0.005	0.006	0.09	53°13'49.4" 23°1'30.7"
17	GKP w odległości 69m od anteny sektorowej az. 190°	2.0	0.005	0.005	0.005	0.007	0.09	53°13'48.4" 23°1'32.2"
18	GKP w odległości 104m od anteny sektorowej az. 190°	2.0	0.005	0.005	0.005	0.006	0.09	53°13'47.3" 23°1'31.4"
19	PKP na az. 275° w odległości 49m od anteny sektorowej az. 310°	2.0	0.006	0.006	0.006	0.007	0.1	53°13'50.9" 23°1'30.0"
20	PKP na az. 290° w odległości 50m od anteny	2.0	0.006	0.006	0.006	0.007	0.1	53°13'51.2" 23°1'30.0"

Sprawozdanie z badań bez pisemnej zgody laboratorium nie może być powielane inaczej niż w całości.
 Wynik przedstawione w niniejszym sprawozdaniu odnoszą się wyłącznie do badanego obiektu i do warunków i konfiguracji urządzeń w dniu wykonywania pomiarów.

	sektorowej az. 310°							
21	PKP na az. 303° w odległości 51m od anteny sektorowej az. 310°	2.0	0.006	0.006	0.006	0.008	0.1	53°13'51.6" 23°1'30.4"
22	GKP w odległości 36m od anteny sektorowej az. 310°	2.0	0.006	0.006	0.006	0.008	0.11	53°13'51.6" 23°1'31.1"
23	PKP na az. 317° w odległości 51m od anteny sektorowej az. 310°	2.0	0.006	0.006	0.006	0.008	0.1	53°13'52.0" 23°1'30.7"
24	PKP na az. 330° w odległości 53m od anteny sektorowej az. 310°	2.0	0.006	0.006	0.006	0.007	0.1	53°13'52.3" 23°1'31.1"
25	PKP na az. 345° w odległości 52m od anteny sektorowej az. 310°	2.0	0.006	0.006	0.006	0.007	0.1	53°13'52.3" 23°1'31.8"
26	GKP w odległości 68m od anteny radioliniowej az. 330°	2.0	0.005	0.005	0.005	0.007	0.09	53°13'52.7" 23°1'31.1"
27	GKP w odległości 77m od anteny sektorowej az. 310°	2.0	0.006	0.006	0.006	0.008	0.1	53°13'52.3" 23°1'29.3"
28	GKP w odległości 107m od anteny sektorowej az. 310°	2.0	0.006	0.006	0.006	0.007	0.1	53°13'53.0" 23°1'28.2"
-	GKP w odległości 283m od anteny sektorowej az. 190°	2.0	0.004	0.004	0.004	0.006	0.08	53°13'41.5" 23°1'30.0"
-	GKP w odległości 365m od anteny sektorowej az. 190°	2.0	0.005	0.005	0.005	0.006	0.09	53°13'39.0" 23°1'29.3"
-	GKP w odległości 278m od anteny sektorowej az. 310°	2.0	0.004	0.004	0.004	0.005	0.07	53°13'56.6" 23°1'21.0"
-	GKP w odległości 418m od anteny sektorowej az. 310°	2.0	0.005	0.005	0.005	0.006	0.08	53°13'59.5" 23°1'15.2"
-	GKP w odległości 618m od anteny sektorowej az. 310°	0.3-2.0	<0.003*	<0.003*	<0.003*	0.003	0.05	53°14'3.8" 23°1'7.0"

Sprawozdanie z badań bez pisemnej zgody laboratorium nie może być powielane inaczej niż w całości.
 Wynik przedstawione w niniejszym sprawozdaniu odnoszą się wyłącznie do badanego obiektu i do warunków i konfiguracji urządzeń w dniu wykonywania pomiarów.

-	GKP w odległości 424m od anteny sektorowej az. 40°	0.3-2.0	<0.003*	<0.003*	<0.003*	0.003	0.05	53°14'1.3" 23°1'47.6"
-	GKP w odległości 723m od anteny sektorowej az. 40°	2.0	0.005	0.005	0.005	0.006	0.08	53°14'8.9" 23°1'58.1"

GKP – Główny Kierunek Pomiarowy

PKP – Pomocniczy Kierunek Pomiarowy

¹ wyniki oznaczone * są wynikami poniżej czułości zestawu pomiarowego i są wynikami spoza zakresu akredytacji. Do obliczenia wyniku skorygowanego przyjęto wartość skorelowaną z rzeczywistym wynikiem pomiaru - dolną granicę akredytowanego zakresu pomiarowego metody

² współrzędne geograficzne pozyskane metodą pomiaru bezpośredniego

³ do wyznaczenia wartości wskaźnikowej W_{ME} i W_{MH} przyjęto na podstawie uzgodnień z klientem oraz rozpoznania źródeł, jako wartości dopuszczalne pola elektrycznego i magnetycznego odpowiednio 28 V/m i 0,073 A/m.

⁴ do wyznaczenia niepewności dla wyników poniżej czułości zestawu pomiarowego, przyjęto niepewność dla minimalnej wartości z zakresu pomiarowego.

⁵ maksymalna wartość chwilowa

Niepewność oszacowano zgodnie z dokumentem P-03 „Procedura nadzoru nad wyposażeniem” w postaci niepewności rozszerzonej wynikającej z niepewności standardowej pomnożonej przez współczynnik rozszerzenia $k=2$.

Całkowita szacowana niepewność rozszerzona składowej E wynosi odpowiednio:

sonda S-21: 30% dla częstotliwości do 4 GHz, sonda S-22: 47.4% dla częstotliwości do 4 GHz

Umiejscowienie pionów (punktów) pomiarowych przedstawiono w załączniku nr 2 do niniejszego sprawozdania.

10. Omówienie wyników pomiarów

W związku z tym, że żadna z wartości zmierzonych, udokumentowanych w tabelach w pkt. 9, uzyskanych w skutek zastosowania pomiaru szerokopasmowego, powiększonego o rozszerzoną niepewność pomiaru U dla współczynnika rozszerzenia $k = 2$ nie przekroczyła 70% najniższej dopuszczalnej wartości składowej elektrycznej lub magnetycznej pola dla objętych pomiarami zakresów częstotliwości, nie uwzględnia się poprawek pomiarowych.

W wyniku zastosowania sposobu sprawdzenia dotrzymania dopuszczalnych poziomów pól elektromagnetycznych w środowisku, zgodnie pkt 25 ppkt 1 Rozporządzenia Ministra Klimatu z dnia 17 lutego 2020 r. (Dz. U. 2022, poz. 2630), w związku z tym, że żadna z wartości wskaźnikowych, udokumentowanych w tabelach w pkt. 9 nie przekracza wartości 1, stwierdza się, że w miejscach, w których wykonano pomiary w otoczeniu instalacji radiokomunikacyjnej 453 (96996N!) KRYNICE (WBI_DOBRZYNIENIE_KRYNICE), dopuszczalne poziomy pól elektromagnetycznych w środowisku należy uznać za dotrzymane.

11. Podstawa prawna

- 1) Ustawa z dnia 27 kwietnia 2001 r. Prawo ochrony środowiska (Dz.U. 2024 poz. 54)
- 2) Rozporządzenie Ministra Zdrowia z dnia 17 grudnia 2019 r. w sprawie dopuszczalnych poziomów pól elektromagnetycznych w środowisku (Dz. U. 2019, poz. 2448)
- 3) Rozporządzenie Ministra Klimatu z dnia 17 lutego 2020 r. w sprawie sposobów sprawdzania dotrzymania dopuszczalnych poziomów pól elektromagnetycznych w środowisku (Dz. U. 2022, poz. 2630),
- 4) Akredytacja nr AB 419 wydana przez Polskie Centrum Akredytacji (wydanie 22, z dnia 9 stycznia 2024 r.)

12. Spis załączników

Załącznik 1. Lokalizacja obiektu badań

Załącznik 2. Usytuowanie pionów (punktów) pomiarowych

Załącznik 3. Dokumentacja fotograficzna obiektu badań

Sprawozdanie z badań bez pisemnej zgody laboratorium nie może być powielane inaczej niż w całości.
Wynik przedstawione w niniejszym sprawozdaniu odnoszą się wyłącznie do badanego obiektu i do warunków i konfiguracji urządzeń w dniu wykonywania pomiarów.

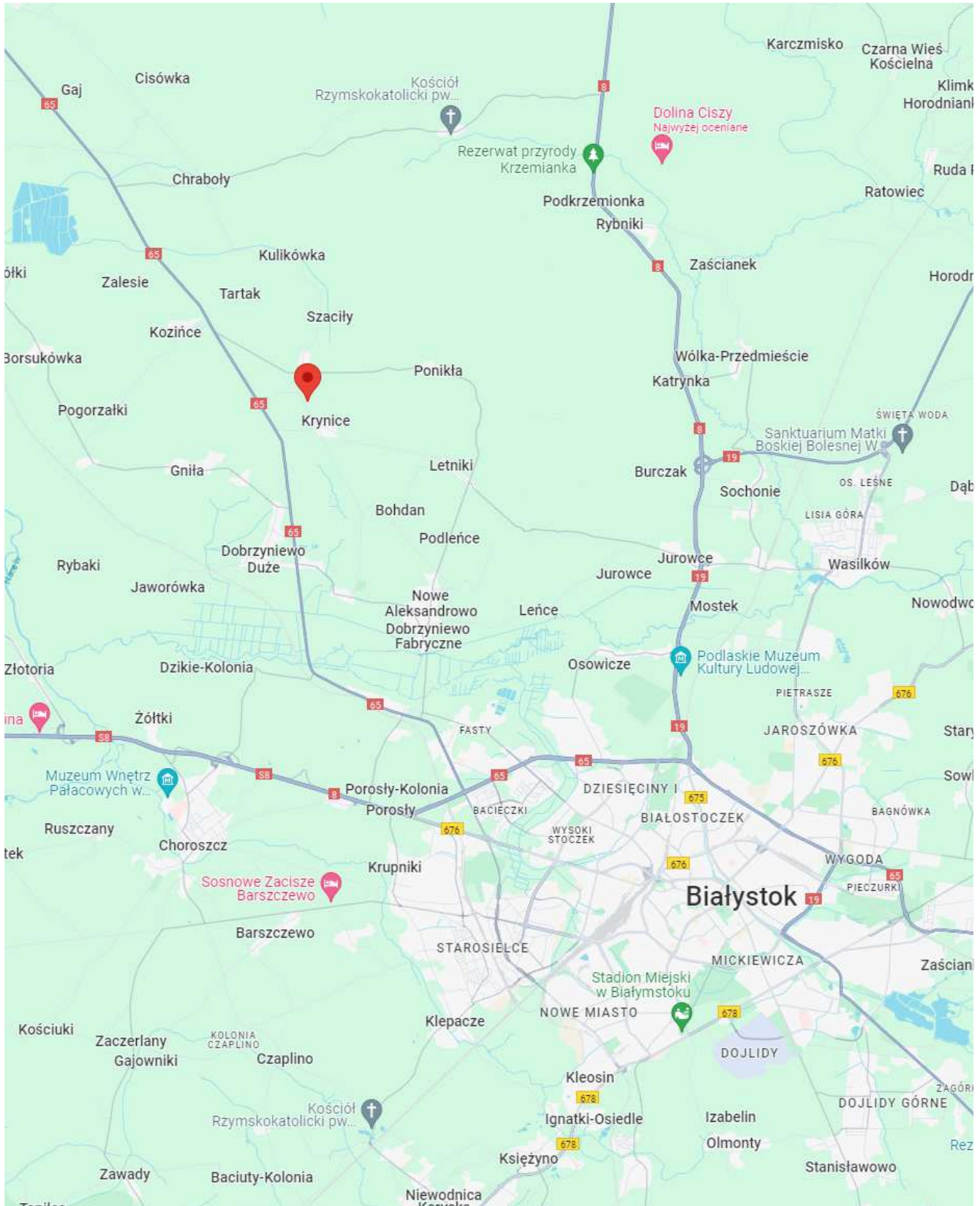
13. Data wydania i autoryzowania sprawozdania

Obliczenia i sprawozdanie wykonał :

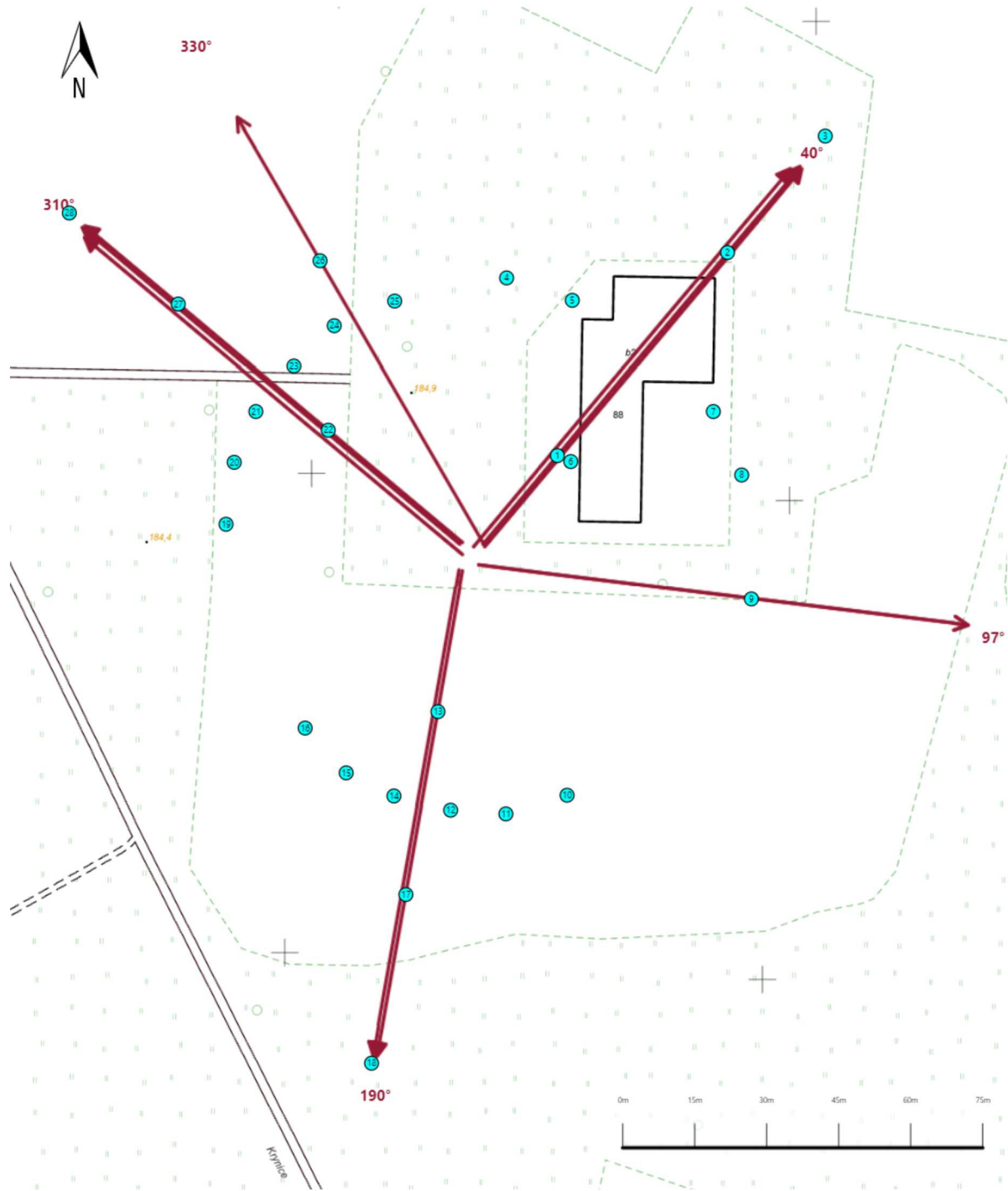
Sprawozdanie autoryzował:













Koniec sprawozdania

Sprawozdanie z badań bez pisemnej zgody laboratorium nie może być powielane inaczej niż w całości.
Wynik przedstawione w niniejszym sprawozdaniu odnoszą się wyłącznie do badanego obiektu i do warunków i konfiguracji urządzeń w dniu wykonywania pomiarów.



Załącznik nr 1	Instalacja radiokomunikacyjna Orange Polska S.A. 453 (96996N!) KRYNICE (WBI_DOBRZYNI_KRYNICE) Lokalizacja instalacji
----------------	--



Załącznik nr 2	<p style="text-align: center;">Instalacja radiokomunikacyjna Orange Polska S.A. WBI_DOBRZYNIĘ_KRYNICE (96996N!) Usytuowanie pionów pomiarowych w otoczeniu instalacji radiokomunikacyjnej</p>				
	<p>Legenda:</p> <table style="width: 100%; border: none;"><tr><td style="text-align: center;"> Brak dostępu</td><td style="text-align: center;"> Pion pomiarowy</td><td style="text-align: center;"> Kierunek oddziaływania anten sektorowych</td><td style="text-align: center;"> Kierunek oddziaływania anten radioliniowych</td></tr></table>	 Brak dostępu	 Pion pomiarowy	 Kierunek oddziaływania anten sektorowych	 Kierunek oddziaływania anten radioliniowych
 Brak dostępu	 Pion pomiarowy	 Kierunek oddziaływania anten sektorowych	 Kierunek oddziaływania anten radioliniowych		



Załącznik nr 3

Instalacja radiokomunikacyjna Orange Polska S.A.
453 (96996N!) KRYNICE (WBI_DOBRZYNIE_KRYNICE)

Dokumentacja fotograficzna